

วิทยา พันธุ์เจริญศิลป์

ดร.วิบูลย์ แสงวีระพันธุ์ศิริ  
รองศาสตราจารย์

ภาควิชาวิศวกรรมเครื่องกล  
จุฬาลงกรณ์มหาวิทยาลัย  
พญาไท กรุงเทพฯ 10330

## หุ่นยนต์เดินด้วยกลไกสี่เหลี่ยม

### A Four Bar Linkage Walking Robot

งานวิจัยนี้เป็นส่วนของการพัฒนาหุ่นยนต์เดินด้วยกลไกสี่เหลี่ยมโดยมีสมมติของกรอบเดินด้วยหัวและด้านหลัง ภายใต้การศึกษาฐานแบบการเดินบนพื้นราบที่การเดินของขาสัมผัสน้ำหนักพื้นตลอดและการเดินอาข่ายความเสียดทานระหว่างขาับพื้นซึ่งเสมือนกับการล่นหรือไถ โดยการเดินหรือการเคลื่อนไหวถูกควบคุมโดยตัวควบคุมแบบพี.ไอ (PI) ที่ควบคุมสูบท่ากับ 18 ms โดยใช้เครื่องไมโครคอมพิวเตอร์ 486/DX-100 คำสั่งของตำแหน่งอ้างอิงหาได้จากโปรแกรมของความเร่ง-ความเร็ว-ความหน่วง คงที่ ความเร็วและความเร่งหรือความหน่วงในการเคลื่อนที่ของหุ่นยนต์สามารถเปลี่ยนได้ จากผลการทดลองพบว่าความเร็วที่เหมาะสมสำหรับตัวหุ่นยนต์ที่สร้างขึ้นนี้มีค่าเท่ากับ  $4 \text{ rad/sec}$  และค่าความเร่งอยู่ในช่วง  $1 \text{ ถึง } 3 \text{ rad/s}^2$  ค่าของความเร็วและความเร่งของการเดินที่ถูกจำกัดนี้เกิดเนื่องมาจากความไม่เป็นเชิงเส้นของความเรียง จากระยะที่เกิดจากโครงสร้างที่ไม่ได้จำลองรูปทางคณิตศาสตร์ไว้ จากการเสียดทานที่ข้อต่อซึ่งมีรูปแบบที่ไม่แน่นอนและความเร็วในการตอบสนองของมอเตอร์ที่ใช้ขับค่อนข้างช้า

This paper illustrates the control of a four bar linkage walking robot with symmetrical backward and forward lean. The experiment is setup for investigating of the walking characteristic of the robot on the flat ground. The walking characteristic is that the legs are always in contact with the ground and the walking is achieved by the help of the friction between the robot feet and the ground. The walking is like rubbing on slipping. The robot walking motion is controlled by a PI controller. The controller is implemented on 486/DX-100 with 18 ms sampling period. The constant acceleration-velocity-deceleration profile is used as the reference position command. The velocity and acceleration or deceleration of the motion at the robot shoulder can be varied. The results shown that the suitable velocity is 4 rad/sec with the acceleration ranges from 1 to 3 rad/s<sup>2</sup>. This limitation is due to the nonmodel of the nonlinear inertia of the robot structure, the joint friction and the show time response characteristic of the motors.

#### 1) บทนำ

ในปัจจุบันนี้สภาวะการแข่งขันทางด้านอุตสาหกรรมมีค่อนข้างสูง ดังนั้นคุณภาพของผลผลิตเริ่มเข้ามา มีความสำคัญเป็นอย่างมาก อีกทั้งดันทุนในการผลิตล้วนเป็นปัจจัยสำคัญทั้งสิ้น ซึ่งสิ่งเหล่านี้ก็ล้วนจำเป็นที่จะต้องอาศัยเครื่องจักรที่มีความแม่นยำสูงแทนทรัพยากร่มมุนอย ซึ่งนับวันอัตราค่าจ้างจะสูงขึ้นเรื่อยๆ และความที่ยึดติดแม่นยำเปลี่ยนได้ตลอด อีกทั้งความสม่ำเสมอในอัตราการผลิตก็ไม่มีความแน่นอนเหมือนเครื่องจักร และงานในบางจุดค่อนข้างที่จะอันตรายต่อชีวิต ดังนั้นการศึกษาขบวนการควบคุมอัตโนมัติมาใช้กับเครื่องจักรประกอบกับหลักการทางทฤษฎีควบคุมอัตโนมัติ นับว่าเป็นสิ่งที่จำเป็น ในการที่จะก้าวไปสู่การเป็นประเทศอุตสาหกรรม โดยการควบคุมนั้นอาศัยการสั่งงานด้วยคอมพิวเตอร์ซึ่งมีอัตราเร็วในการตอบสนองที่รวดเร็ว อีกทั้งความยืดหยุ่นในการเปลี่ยนแปลงลักษณะการทำงานก็สามารถทำได้โดยง่าย คือเปลี่ยนแปลงโดยการแก้ไขซอฟต์แวร์

งานวิจัยนี้เป็นการศึกษาการสร้างและการควบคุมหุ่นยนต์เดินได้โดยอาศัยกลไกมาตรฐานแบบ four bar โดยอาศัยหลักการควบคุมตำแหน่งภายใต้การควบคุมแบบ พี.ไอ. ความควบคุมการเดินของหุ่นยนต์ การควบ

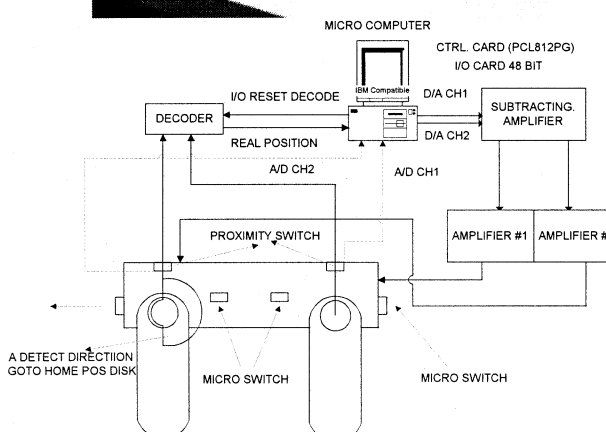
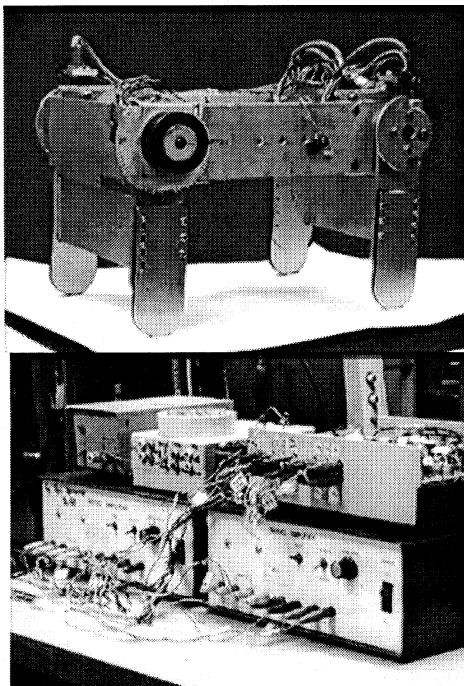
คุมในลักษณะดังกล่าวมีใช้อย่างกว้างขวางในงานควบคุมทางด้านอุตสาหกรรม ซึ่งการควบคุมดังกล่าวมีความแม่นยำขึ้นอยู่กับปัจจัยของโหลดที่มารบกวน (Disturbance load) สำหรับกรณีนี้ก็คือความเสียดทานที่ไม่เป็นเชิงเส้น (Nonlinear) ดังนั้นการควบคุมให้เป็นไปตามค่าเป้าหมายให้ได้ดีจะทำได้ในระดับหนึ่ง

งานวิจัยนี้จะเน้นทั้งทางทฤษฎีและปฏิบัติโดยสร้างตัวหุ่นยนต์แบบเดินด้วยกลไก four bar พร้อมระบบควบคุมขึ้นโดยใช้อุปกรณ์ที่สามารถให้ได้หรือสร้างได้ในห้องปฏิบัติการเป็นหลัก เพื่อทดสอบการใช้ระบบหรือวิธีการควบคุมมาตรฐาน PI (Proportional+Integral) พร้อมทั้งศึกษาเพื่อให้ได้ผลในการควบคุมตำแหน่งการก้าวให้มีนัยสำคัญในระดับหนึ่ง โดยการวัดผลของการตอบสนองต่อคำสั่งที่สั่งให้หุ่นยนต์เคลื่อนที่โดยติดชุดอิเล็กทรอนิกส์ที่ขาหน้าและขาหลัง ซึ่งให้สัญญาณเป็นพัลส์ออกมานั้นนำสัญญาณที่ได้ผ่านชุดวงจรดิจิตอลเดอร์ซึ่งสร้างขึ้นเพื่อแปลงสัญญาณอนาลอก ให้อยู่ในรูปของดิจิตอลผ่านดิจิตอลอินพุตและเอาท์พุต可想而知 เพื่อที่คอมพิวเตอร์จะสามารถนำค่าดังกล่าวไปทำการประมวลผล และส่งคำสั่งควบคุมอุปกรณ์โดยผ่านคาร์ดแปลงดิจิตอลเป็น

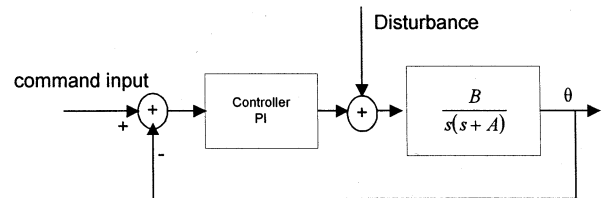
นองานลอก( D/A CARD) โดยสัญญาณคำสั่งที่ส่งออกมาดังกล่าวจะต้องผ่านลิเนียร์แอมป์ไฟฟ้าในการขยายสัญญาณเพื่อการขับเคลื่อนระบบ

## 2) อุปกรณ์ในหุ้นยนต์เดินด้วยกลไกสีลิงค์

รูปที่ 2.1 เป็นรูปแสดงหุ้นยนต์เดินแบบกลไกสีลิงค์ โดยมีขา 2 ขาแต่ละขาขับเคลื่อนด้วยมอเตอร์กระแสตรง และที่หัวไว้เหล็กของขาหุ้นยนต์จะติดตั้งด้วย Encoder ซึ่งใช้วัดตำแหน่งการเคลื่อนที่ของขาแต่ละขาร้อมกับสร้างชุด Decoder ที่ใช้สำหรับแปลงสัญญาณที่ได้ออกมาจากตัว Encoder ได้ทั้งในลักษณะเดินหน้าและถอยหลัง ตัวควบคุมการทำงานของหุ้นยนต์จะประกอบด้วยเครื่องไมโครคอมพิวเตอร์ติดตั้งอุปกรณ์เปลี่ยนสัญญาณ Digital/Analog Convertor ซึ่งจะเปลี่ยนสัญญาณตัวเลขหรือ Digital signal ที่คำนวณได้จากตัวควบคุม PI ให้เป็นสัญญาณอนาล็อกสำหรับส่งต่อไปยังชุดขยายสัญญาณที่ให้ขับเคลื่อนอิเล็กทรอนิกส์หนึ่ง และในคอมพิวเตอร์ที่ใช้ควบคุมนั้นก็จะติดตั้งแผงวงจร Digital I/O สำหรับรับสัญญาณเดิจิตอลที่มีลักษณะเป็นแบบเปิดปิด และมีตัวตรวจสัญญาณแบบ Proximity sensor เพื่อให้กำหนดตำแหน่ง Home position ของหุ้นยนต์เดินได้ด้วย รูปที่ 2.2 เป็นรูปแผนภาพแสดงการทำงานของระบบควบคุมที่ใช้ขับเคลื่อนของมอเตอร์แต่ละตัว



รูปที่ 2.1 รูปแผนภาพแสดงหุ้นยนต์เดินด้วยกลไก four bar พร้อมอุปกรณ์ควบคุมและอุปกรณ์ตรวจรู้



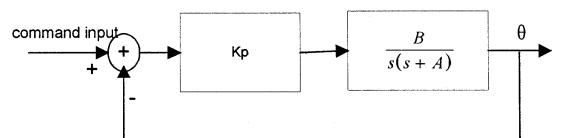
รูปที่ 2.2 รูปแผนภาพแสดงระบบการควบคุมมอเตอร์ของหุ้นยนต์

## 3) แบบจำลองทางคณิตศาสตร์และการออกแบบค่าเกนควบคุม

### 3.1 การวัดและทดสอบหาค่าตัวแปรต่าง ๆ ของดีซีมอเตอร์และการ

เราสมมุติฐานว่า Intertia ของตัวหุ้นยนต์ที่นำปรากฏภัยบันมอเตอร์นี้เป็น Lump mass และมีค่าคงที่ไม่เปลี่ยนแปลง และใช้วิธีการทดสอบจากระบบชิงเพื่อหา dynamic model ถึงแม้รูปโครงสร้างจะเปลี่ยนแปลงแต่ส่วนที่เปลี่ยนแปลงนั้นมีค่าไม่นัก ประกอบกับความเร็วในการเคลื่อนที่ของหุ้นยนต์ไม่สูงมาก ซึ่งระบบควบคุมแบบ PI ที่เราใช้สามารถ compensate ค่า error ของ dynamic ในส่วนนี้ได้ในระดับหนึ่ง และขณะเดียวกัน มอเตอร์ที่เราใช้ก็เป็นมอเตอร์ราคาถูกเป็นของก่อที่ไม่ทราบค่าพารามิเตอร์ ของมอเตอร์ ดังนั้นเราจึงทำการทดสอบเพื่อหา Dynamic model รวมของทั้งมอเตอร์และ Load (lump mass) (ແຜ່ອງໃນค่า A และ B ของแบบจำลองมาตรฐานเพื่อนำมาทดสอบหาค่า A และ B) ดังแสดงในหัวข้อที่ 3.1

แนวทางในการหาสมการทางคณิตศาสตร์ของระบบต้องอาศัยการทดลองระบบภายใต้สภาวะที่ฐานของระบบควบคุมต้องมีการเป็น Lump mass โดยทั่วไปเป็นสมการกำลังสองซึ่งเขียนเป็นรูปแบบทั่วไปของระบบได้ดังรูปที่ 2.2 การทดลองหาค่าพารามิเตอร์รวมของมอเตอร์สามารถแสดงได้ในรูปแผนภาพ 3.1



รูปที่ 3.1 แผนภาพแสดงระบบที่ใช้หาค่าพารามิเตอร์รวมของมอเตอร์

จากรูปที่ 4.1 เราสามารถหาสมการทรายส์เฟอร์ฟังค์ชันของระบบรวมได้ดังนี้

$$\frac{C(s)}{R(s)} = \frac{K_p B}{s(s+A)+K_p B} \quad (3.1)$$

จากรูปที่ 3.1 เราสามารถเขียนสมการความสัมพันธ์ของฟังค์ชันถ่ายโอนได้เป็น

$$\frac{C(s)}{R(s)} = \frac{\omega_n^2}{s^2 + 2\zeta\omega_n s + \omega_n^2} = \frac{BK_p}{s^2 + As + BK_p} \quad (3.2)$$

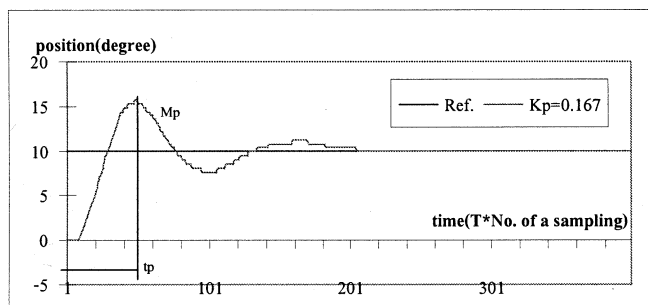
โดยมีรูปแบบสมการทั่วไปในการตอบสนองที่ภายในพื้นที่ได้อินพุทหนึ่งหน่วยขับบันไดคือ

$$C(t) = 1 - e^{-\zeta \omega_n t} (\cos \omega_d t + \frac{\zeta}{\sqrt{1-\zeta^2}} \sin \omega_d t)$$

เมื่อสัญญาณอินพุตเป็นแบบฟังก์ชันขั้นบันได 10 องศา ที่ค่าเกน  $K_p=0.167$  จะได้สมการการตอบสนองคือ

$$C(t) = 10(1 - e^{-\zeta \omega_n t} (\cos \omega_d t + \frac{\zeta}{\sqrt{1-\zeta^2}} \sin \omega_d t)) \quad (3.3)$$

และได้ผลของการตอบสนองเป็นไปตามรูปที่ 3.2



รูปที่ 3.2 แสดงผลตอบสนองของระบบจริงภายใต้อินพุตแบบขั้นบันได

จากผลการตอบสนองที่ได้อ่านค่าของโอลิวอร์ชูทสูงสุดได้  $M_p = 5.5385$  องศา และช่วงเวลาพีค  $t_p = 0.93$  sec และพบว่าที่เวลา  $t = 0.54$  sec ระบบให้การตอบสนองเท่ากับ 10 องศา เป็นครั้งแรก เมื่อเทียบค่าผลการทดลองกับสมการในการตอบสนองของระบบพบว่าที่  $C(0.54)=10$  องศา หากค่าด้วยประต่างๆ ของระบบ จากความสัมพันธ์ดังต่อไปนี้

หากเวลาที่จุดพีคจากการหาอนุพันธ์ของ  $C(t)$  โดยเทียบกับเวลาได้ และให้ผลลัพธ์ของอนุพันธ์นี้มีค่าเป็นศูนย์ ได้ความสัมพันธ์ดังนี้คือ

$$\frac{dc}{dt} \Big|_{t=t_p} = (\sin \omega_d t_p) \frac{\omega_n}{\sqrt{1-\zeta^2}} e^{-\zeta \omega_n t_p} = 0$$

จากสมการจะได้ว่าสมการเป็นจริงเมื่อ  $\sin \omega_d t_p = 0$

หรือ  $\sin \omega_d t_p = 0, \pi, 2\pi, 3\pi, \dots$

โดยเวลาพีคคือที่ต่ำแห่งโอลิวอร์ชูทสูงสุดในครั้งแรกนั้นคือที่  $\sin \omega_d t_p = \pi$  ดังนั้น

$$t_p = \frac{\pi}{\omega_d} \quad (3.4)$$

จากผลการอ่านค่าเวลาที่จุดพีคพบว่า ความถี่แอมป์คือ

$$\omega_d = \frac{\pi}{t_p} = \frac{\pi}{0.93} = 3.378 \text{ rad/s}$$

หากค่าอัตราส่วนแอมป์ปิงจาก ความสัมพันธ์ของโอลิวอร์ชูทสูงสุด

$$\begin{aligned} M_p &= 10(C(t_p) - 1) \\ &= 10 * e^{-(\zeta/\sqrt{1-\zeta^2})\pi} \end{aligned} \quad (3.5)$$

จากการอ่านค่าผลการตอบสนองพบว่าโอลิวอร์ชูทสูงสุดของระบบคือ  $M_p = 5.538$  แทนค่าดังกล่าวแล้วแก้สมการข้างต้นได้ค่าอัตราส่วนแอมป์ปิงของระบบคือ

$$\zeta = 0.185$$

จากนี้นำค่าอัตราส่วนแอมป์ปิงและค่าความถี่แอมป์ปิงมาคำนวณค่าความสัมพันธ์ของระบบจากความสัมพันธ์ดังนี้

$$\omega_d = \omega_n \sqrt{1-\zeta^2} \quad (3.6)$$

$$\omega_n = \frac{\omega_d}{\sqrt{1-\zeta^2}} = \frac{3.378}{\sqrt{1-0.185^2}} = 3.437 \text{ rad/s}$$

หากค่าด้วยประของระบบควบคุมโดยการเทียบค่าสัมประสิทธิ์กับรูปแบบที่ไปของสมการควบคุมลักษณะ

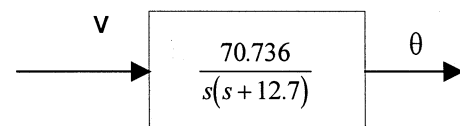
$$s^2 + 2\zeta\omega_n + \omega_n^2 = s^2 + Bs + AK_p$$

$$s^2 + 2(0.185)*3.437s + 3.437^2 = s^2 + Bs + AK_p$$

จากสมการเมื่อเทียบสัมประสิทธิ์จะได้ว่า

$$B = \frac{\omega_n^2}{K_p} = 70.736 \quad \text{และ } A = 1.27$$

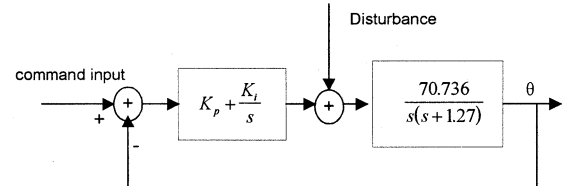
ดังนั้นระบบมีสมการทางคณิตศาสตร์ดังรูปที่ 3.3



รูปที่ 3.3 แผนภาพของสมการแบบจำลองของมอเตอร์ที่ได้จากการทดลอง

#### พิจารณาระบบที่ภายใต้การควบคุมแบบ พ.ไอ.

เนื่องจากการควบคุมแบบไบโอบีจะช่วยให้ค่าความผิดพลาดในสถานะคงตัวเป็นศูนย์ ดังนั้นการควบคุมภายใต้ พ.ไอ. จะช่วยทำให้ผลของการควบคุมดีขึ้น ซึ่งแผนภาพของระบบควบคุมดังกล่าวแสดงได้ดังรูปที่ 3.4



รูปที่ 3.4 แผนภาพของระบบจริงภายใต้แรงเสียดทานมากับพื้น

การควบคุมต่ำแห่งการหมุนของมอเตอร์ด้วยตัวควบคุมแบบสั้ดส่วนบวกกับแบบอินทิกรัลนั้นจะทำให้ระบบควบคุมของเรามีอันดับเป็นสาม ดังแสดงในสมการของฟังก์ชันถ่ายทอด

$$\frac{C(s)}{R(s)} = \frac{70.736(Kps + Ki)}{s(s^2 + 1.27s) + 70.736(Kps + Ki)}$$

พิจารณาเสถียรภาพของระบบโดยอาศัยเกณฑ์ของเรท (Routh's criteria) มาใช้ตรวจสอบความเสถียรภาพของระบบจะพบว่าค่าเกนที่ทำให้ระบบมีเสถียรภาพภายใต้พ.ไอ. ควบคุมเป็นไปตามสมการดัง

$$1.27K_p - K_i > 0 \quad (3.7)$$

ดังนั้นในการพิจารณาเกน เรายังคงพิจารณาค่าเกนตามความสัมพันธ์ และเป็นค่าเกนที่ทำให้ ค่าเวลาคงที่ภายใต้พ.ไอ. ควบคุมมีค่ามากกว่าเวลาคงที่ของมอเตอร์คือ  $\tau = 0.787$  วินาที และไม่มากจนเกินไป เพราะจะส่งผลให้ระบบขาดเสถียรภาพได้ ซึ่งเมื่อพิจารณาจากทางเดินของระบบ เราสามารถที่จะพิจารณาค่าเกนของ พ. และ ไอ. ที่ทำ

ให้ระบบเป็นไปตามข้อกำหนดจากรูปแบบของ พี.ไอ. คอนโทรลเลอร์ เอียงได้ดังสมการ

$$G_c(s) = \frac{K_p(s + \frac{K_i}{K_p})}{s} \quad (3.8)$$

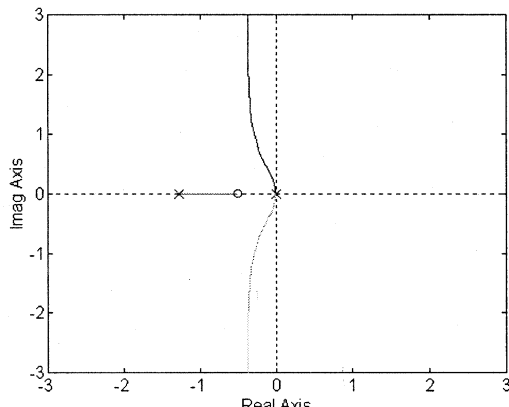
จากการวิเคราะห์เสถียรภาพของระบบพบว่า  $\frac{K_i}{K_p} < 1.27$  ระบบจึงจะเสถียรและจากรากทางเดินของระบบพบว่าค่าของเกน พี. และ ไอ. ซึ่งเป็นอัตราส่วนกัน เพื่อให้ได้ค่าเวลาคงที่ตามที่กำหนด อัตราส่วนดังกล่าวต้องอยู่ในช่วง

$$0 < \frac{K_i}{K_p} < 1.27$$

ซึ่งค่าเกนที่เราเลือกใช้ในการควบคุมคือที่  $K_p = 0.20$  และ

$$\frac{K_i}{K_p} = 0.50 \text{ นั่นคือ } K_i = 0.10 \text{ พิจารณากราฟทางเดินของระบบที่ภายใต้ค่าเกนดังกล่าวได้ดังรูป 3.5 โดยมีจุดตัดของเส้นกำกับกับแกนจริงของ$$

ระยะ s อยู่ที่  $-0.385$  นั่นคือระบบมีค่าเวลาคงที่  $\tau = 2.597$  วินาที



รูปที่ 3.5 รากทางเดินระบบที่พี.ไอ. ควบคุมที่ เกนพี.  $K_p = 0.20$  และ เกน ไอ.  $K_i = 0.1$

และเมื่อพิจารณาค่าความผิดพลาดที่อินพุตต่างๆ ของการควบคุมแบบพี.ไอ. ที่อินพุตแบบขั้นบันได, ความเร็วคงที่และที่ความเร่งคงที่ตามลำดับดังนี้

ค่าความผิดพลาดคงตัวของการควบคุมแบบ พี.ไอ. ภายใต้อินพุตแบบขั้นบันได

เมื่อพิจารณาที่อินพุตเป็นฟังก์ชันขั้นหนึ่งหน่วย

$$E(s) = R(s) \left(1 - \frac{C(s)}{R(s)}\right) = \frac{1}{s} \left( \frac{s^2(s+1.27)}{s^3 + 1.27s^2 + 70.736K_p s + 70.736K_i} \right)$$

$$e_{ss} = \lim_{s \rightarrow 0} sE(s) = \lim_{s \rightarrow 0} \frac{1}{s} \left( \frac{s^2(s+1.27)}{s^3 + 1.27s^2 + 70.736K_p s + 70.736K_i} \right)$$

$$= 0$$

ค่าความผิดพลาดที่พี.ไอ. ควบคุมภายใต้อินพุตที่ความเร็วคงที่ เมื่ออินพุตเป็นแบบความเร็วคงที่หรือแรมพ์อินพุตซึ่งมีรูปแบบทาง

$$\text{คงตัวศาสตร์ในโดเมนของ } s \text{ คือ } \frac{\omega}{s^2}$$

$$e_{ss} = \lim_{s \rightarrow 0} sE(s) = \lim_{s \rightarrow 0} s \frac{\omega}{s^2} \left( \frac{s^2(s+1.27)}{s^3 + 1.27s^2 + 70.736K_p s + 70.736K_i} \right)$$

$$= 0$$

ค่าความผิดพลาดคงตัวของการควบคุมแบบ พี.ไอ. ภายใต้อินพุตที่ความเร่งคงที่

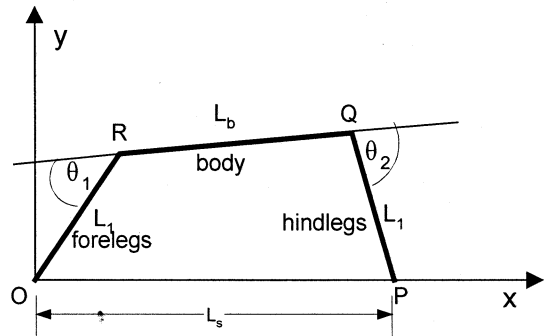
เมื่ออินพุตเป็นแบบความเร่งคงที่มีรูปแบบทางคงตัวศาสตร์ในโดเมนของ  $s$  คือ  $\frac{\alpha}{s^3}$

$$e_{ss} = \lim_{s \rightarrow 0} sE(s) = \lim_{s \rightarrow 0} s \frac{2\alpha}{s^3} \left( \frac{s^2(s+1.27)}{s^3 + 1.27s^2 + 70.736K_p s + 70.736K_i} \right)$$

$$= \frac{2.54\alpha}{70.736K_i}$$

จากการพิจารณาค่าความผิดพลาดดังกล่าวความสามารถใช้การควบคุมแบบ พี.ไอ. ในกระบวนการสำหรับระบบนี้ซึ่งเวลาคงที่ทางกลมีค่ามากเนื่องจากมอเตอร์ที่ใช้เป็นพีเยงดีซีมอเตอร์และความสามารถในการก้าวเดินยังขึ้นกับความเสียดทานระหว่างขา กับพื้นดังนั้นในระบบจริงๆ เราไม่ต้องการความเร่งที่สูงมากนัก ซึ่งด้วยเหตุผลดังกล่าวนี้เราใช้การควบคุมแบบพี.ไอ. ควบคุมเก้าอี้ล้อการควบคุมที่ดีพอแล้ว

#### 4) สมการทางคงตัวศาสตร์และระบบพารามิเตอร์ของหุ่นยนต์



รูปที่ 4.1 แสดงแบบจำลองด้วยลิงค์ของหุ่นยนต์เดินด้วยกลไกสีลิงค์

จากกฎของCosine เมื่อพิจารณาสามเหลี่ยม  $\Delta ORQ$

$$\overline{OQ}^2 = \overline{OR}^2 + \overline{RQ}^2 - 2(\overline{OR})(\overline{OQ})\cos(180 - \theta_1) \quad (4.1)$$

$$\overline{OQ} = \sqrt{\overline{L}_f^2 + \overline{L}_b^2 + 2\overline{L}_f\overline{L}_b\cos\theta_1}$$

จากกฎของCosine เมื่อพิจารณาสามเหลี่ยม  $\Delta RQO$

$$\overline{L}_s^2 = \overline{OQ}^2 + \overline{L}_b^2 - 2\overline{OQ}\overline{L}_b\cos\angle RQO \quad (4.2)$$

$$\angle RQO = \cos^{-1} \left[ \frac{(\overline{L}_b^2 + \overline{OQ}^2 - \overline{L}_s^2)}{2\overline{L}_b\overline{OQ}} \right]$$

หมาย  $\angle OQP$  โดยพิจารณาจากความสัมพันธ์ของ  $\Delta OQP$  กับ  $\Delta RQO$  จาก  $\Delta RQP$

$$\angle OQP = \pi - \angle RQO - \theta_2$$

$$\overline{L}_s = \sqrt{\overline{L}_s^2 + \overline{OQ}^2 - 2\overline{L}_s\overline{OQ}\cos\angle OQP} \quad (4.3)$$

หมาย  $\angle OPQ$  โดยพิจารณาสามเหลี่ยม  $\Delta OPQ$  จากกฎของ Cosine

$$\overline{OQ}^2 = L_L^2 + L_S^2 - 2L_L L_S \cos \angle OPQ$$

$$\angle OPQ = \cos^{-1} \left[ \frac{(L_L^2 + L_S^2 - \overline{OQ}^2)}{2L_L L_S} \right] \quad (4.4)$$

หมายความ  $\angle ROP$  โดยพิจารณาจากความสัมพันธ์ของผลรวมมุมภายในสี่เหลี่ยมเท่ากับ 360 องศา

$$\begin{aligned} \angle ROP &= 360 - (180 - \theta_1) - (180 - \theta_2) - \angle OPQ \\ \angle ROP &= \theta_1 + \theta_2 - \angle OPQ \end{aligned} \quad (4.5)$$

พิกัดของมุมของสี่เหลี่ยมคางหมู OPQR และดังรูปที่ 4.1 คือ

$$(X_o, Y_o) = (0, 0) \quad (4.6)$$

$$(X_p, Y_p) = (L_s, 0) \quad (4.7)$$

$$(X_q, Y_q) = (L_s - L_l * \cos \angle OPQ, L_l * \sin \angle OPQ) \quad (4.8)$$

$$(X_r, Y_r) = (L_l * \cos \angle ROP, L_l * \sin \angle ROP) \quad (4.9)$$

พิกัดศูนย์กลางความโน้มถ่วง  $(X_g, Y_g)$  กำหนดได้โดยสมการตามนี้

$$Cg.\text{ของขาหน้า: } (X_{lf}, Y_{lf}) = (X_r/2, Y_r/2) \quad (4.10)$$

$$Cg.\text{ของขาหลัง: } (X_{lb}, Y_{lb}) = ((L_s - X_q)/2, Y_q/2) \quad (4.11)$$

$$Cg.\text{ของตัวทุ่น: } (X_{bg}, Y_{bg}) = (X_r + (X_q - X_r)/2, Y_q + (Y_r - Y_q)/2) \quad (4.12)$$

หาจุด CG. รวมของทั้งเพริมจากความสัมพันธ์ดังนี้

$$X_g \sum M_i = \sum X_i M_i \text{ และ } Y_g \sum M_i = \sum Y_i M_i$$

$$X_g(2M_l + M_b) = M_l X_r/2 + M_l (L_s - X_q)/2 + M_b (X_r + (X_q - X_r)/2)$$

$$X_g = 1/2M_l + M_b * M_l X_{lf} + M_l X_{lb} + M_b X_{bg} \quad (4.13)$$

$$Y_g(2M_l + M_b) = M_l Y_r/2 + M_l Y_q/2 + M_b (Y_r - Y_q)/2$$

$$Y_g = 1/(2M_l + M_b) * M_l Y_{lf} + M_l Y_{lb} + M_b Y_{bg} \quad (4.14)$$

จากสมการที่ (4.13) และ (4.14) นำมาเขียนในรูปเมตริกซ์ได้ดังสมการ เมตริกซ์ได้ดังนี้

$$\begin{bmatrix} X_g \\ Y_g \end{bmatrix} = \frac{1}{2M_l + M_b} \begin{bmatrix} M_l X_{lf} + M_l X_{lb} + M_b X_{bg} \\ M_l Y_{lf} + M_l Y_{lb} + M_b Y_{bg} \end{bmatrix} \quad (4.15)$$

จากสมการที่ (4.15) เราได้สมการที่จะหาตำแหน่งของจุดศูนย์ถ่วงที่จะใช้ในการสร้างความสัมพันธ์ ซึ่งเป็นสมการที่จะใช้ในการควบคุมเสถียรภาพของตัวทุ่นยนต์คือสมการที่ (4.16) และส่วนที่ใช้ในการควบคุมระยะทางที่จะใช้ในการก้าวเดินคือสมการที่ (4.17) ซึ่งมีรูปแบบความสัมพันธ์ดังนี้

$G_x = \text{ค่าซึ่งบอกรการเคลื่อนที่ของศูนย์กลางความโน้มถ่วงตามแนวแกน } X \text{ ซึ่งกำหนดดังนี้}$

$$G_x = X_g - (X_p/2) \quad (4.16)$$

จากสมการที่ (2-48) ค่าดังกล่าวเท่ากับศูนย์แสดงว่าเป็นสภาวะเริ่มแรก คืออยู่ในท่าเดินที่ต้องการและที่ค่าดังกล่าวมีค่าเป็นบวก และว่า หุ่นยนต์มีการโน้มตัวไปทางด้านหลังซึ่งเราจะกำหนดให้เคลื่อนตัวได้สูงสุดที่  $X_g = X_p$  นั่นคือที่  $G_x = X_p/2$  หรือในทางกลับกันเมื่อค่าดังกล่าวเป็นลบแสดงว่ามีการเคลื่อนที่โดยการเดินถอยหลัง โดยเราจะกำหนดให้การโน้มตัวเพื่อถอยเท่านั้นก่อนการเดิน ซึ่งมีขั้นตอนการเดินที่จุดศูนย์กลางโน้มตัวจะสามารถเคลื่อนตัวไปได้ระยะทางสูงสุดโดยที่ไม่ทำให้เกิดการพลิกคว่ำ ที่พิกัดซึ่ง  $X_g = 0$  นั่นคือที่ค่า  $G_x = -X_p/2$  ตามสมการทางคณิตศาสตร์โดยกำหนดให้ภาระที่กระทำๆ ที่ตำแหน่งจุดศูนย์กลางมวล

ดังนั้นผลของการเคลื่อนที่ของเรา เราจะควบคุมตำแหน่งของศูนย์กลางโน้มตัว เพื่อที่จะทำให้การก้าวเดินของหุ่นยนต์ใช้กำลังขับค่อนข้างน้อยความสามารถที่จะเคลื่อนตัวไปได้

การควบคุมระยะทางในการก้าวของแต่ละการสูบ คือระยะ  $T_{d1}$  สามารถควบคุมระยะการก้าวเดินด้วยสมการความสัมพันธ์ดังต่อไปนี้

$$T_{d1} = L_s - L_b \quad (4.17)$$

สมการที่ (4.17) นี้เป็นการควบคุมการก้าวเดินแบบไถลหรือ Rub gait ความหมายของพารามิเตอร์ที่ใช้ในการกำหนดส่วนต่างๆ ของตัวหุ่นมีดังนี้

$L_s$  = ความยาวของขา ;  $L_b$  = ความยาวของตัว

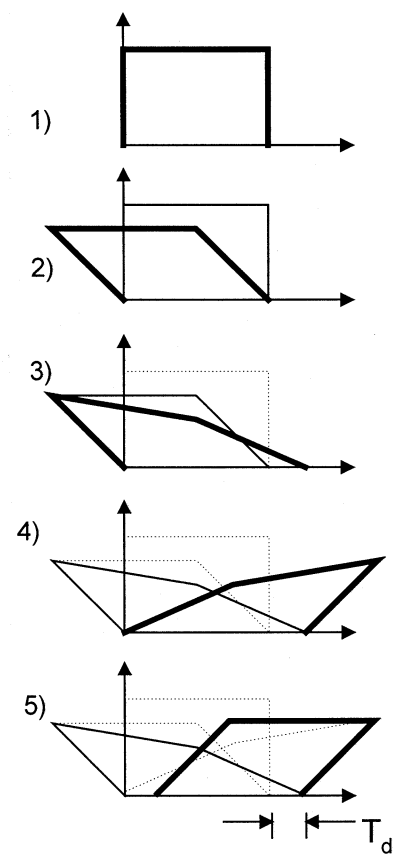
$M_l$  = มวลของขา ;  $M_b$  = มวลของลำตัว

$\theta_1$  = มุมที่แขนขาหน้ากระทำกับแนวลำตัว ;  $\theta_2$  = มุมที่แขนขาหลังกระทำกับแนวลำตัว

$T_{d1}$  = ระยะทางที่ก้าวเดินได้ในแต่ละลูปของการเดิน

$L_s$  = ระยะห่างระหว่างขาหน้าและขาหลังตามแนวระดับของพื้นภายหลังจากการก้าวเดิน

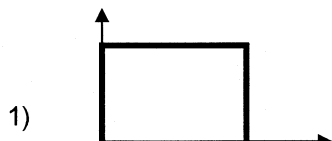
### การก้าวเดินของหุ่นยนต์



รูปที่ 4.2 แสดงลำดับการเดินของหุ่นยนต์เดินด้วยกลไกสี่เหลี่ยมค์

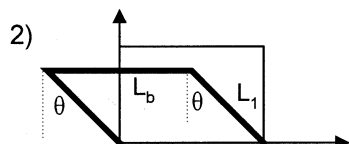
การก้าวเดินของหุ่นยนต์ที่เดินด้วยกลไกแบบ four bar นั้นแสดงไว้ในรูปที่ 4.2 และสามารถบรรยายการเดินเป็นขั้นๆ ดังนี้

ลำดับที่ 1 ระบบบังเข้าสู่ตำแหน่ง Home ซึ่งเป็นตำแหน่งเริ่มต้นในท่าเดินเหยียดตรงของระบบ



รูปที่ 4.3 แสดงลำดับที่ 1 ของการเดินของหุ่นยนต์ (Home Position)

ลำดับที่ 2 เป็นการโน้มตัวมาด้านหลังก่อนการก้าวเดินเพื่อเป็นการย้ายจุดศูนย์ถ่วงของระบบมวลบนเท้าหลังเพื่อลดแรงเสียดทานในการก้าวเดินดังรูปที่ 4.4 โดยมุ่งองค่าที่ทำให้จุดศูนย์ถ่วงตกอยู่ที่เท้าด้านหลัง เป็นไปตามสมการการเคลื่อนที่ของจุดศูนย์ถ่วง จากสมการพิจารณาหา มุ่ง ? ที่ทำให้ค่าของสมการ  $X_g$  มีค่าเท่ากับศูนย์

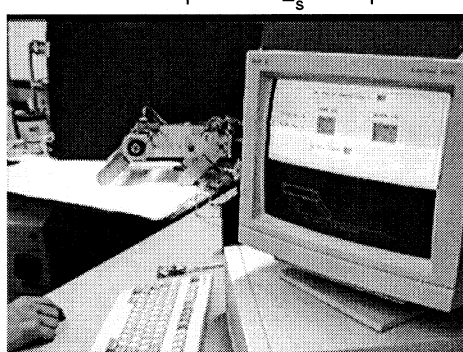
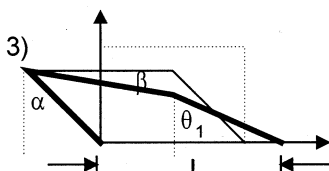


รูปที่ 4.4 แสดงลำดับที่ 2 ของการเดินของหุ่นยนต์

$$X_g = \frac{1}{2m_l + m_b} \left[ m_g \left( L_b - \frac{L_1}{2} \sin \theta \right) - m_{lb} \frac{L_1}{2} \sin \theta + m_b \left( L_b - L_1 \sin \theta - \frac{L_b}{2} \right) \right]$$

ซึ่งคือมุ่งที่ใช้ในการขับในลำดับที่ 2 ก่อนทำการก้าวเดินในลำดับที่ 3

ลำดับที่ 3 เป็นการขับเคลื่อนขาหน้าเพื่อทำการก้าวเท้าเดินเป็นระยะทางที่กำหนดโดยมุ่งที่ขับกับระยะทางที่ก้าวเดินมีความสัมพันธ์กัน



รูปที่ 4.5 แสดงลำดับที่ 3 ของการเดินของหุ่นยนต์

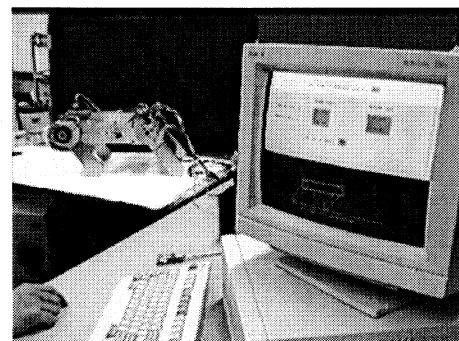
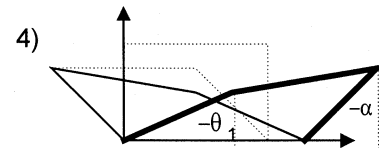
$$\sin \beta = \left( \frac{L_1}{L_b} \right) (\cos \alpha - \cos \theta_1)$$

$$\cos \beta = [L_s + L_1 \sin \alpha - L_1 \sin \theta_1] / L_b$$

และจาก  $\sin^2 \beta + \cos^2 \beta = 1$  เราสามารถคำนวณหาค่า  $\theta_1$  ได้  $T_d$  คือ ค่าระยะทางที่เราการกำหนดและ  $L_b$  มีความยาวของตัวหุ่นยนต์ซึ่งมีความยาวคงที่เท่ากับ 26 ซม. และ  $L_s = L_b + T_d$  นั้นคือเมื่อก้าวเท้าหน้าด้วยมุ่ง  $\theta_1$  เราจะได้ระยะทางเท่ากับ  $T_d$

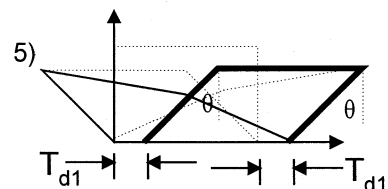
ลำดับที่ 4 เป็นการขับเคลื่อนด้วยขนาดของมุ่งที่เท้ากับมุ่งในลำดับที่ 2 แต่ตรงกันข้ามคือมุ่งขับของเท้าหน้าในลำดับที่ 3 เป็นมุ่งขับของเท้า

หลังในลำดับที่ 4 ในทิศทางตรงข้ามกัน ส่วนมุ่งขับของเท้าหลังในลำดับที่ 3 ก็เป็นมุ่งขับของเท้าหน้าในลำดับที่ 4 ในทิศทางตรงข้ามกัน ซึ่งก็จะได้ผลลัพธ์ดังในรูปที่ 4.6 ซึ่งเป็นการถ่ายเท้าหน้านักหรือเปลี่ยนจุดศูนย์กลางโน้มถ่วงของระบบมวลที่เท้าหน้าก่อนที่จะทำการลากเท้าหลังเข้ามาด้วยแรงเสียดทานของเท้าทั้งสองกับพื้นซึ่งมีค่าไม่มากนัก ช่วงนี้ต้องจะให้การเดินสมบูรณ์มือเตือนจะต้องมีการตอบสนองค่อนข้างเร็วกับคำสั่งที่ส่งให้มือเตือนเคลื่อนที่



รูปที่ 4.6 แสดงลำดับที่ 4 ของการเคลื่อนที่ของหุ่นยนต์

ลำดับที่ 5 เป็นการลากเท้าหลังเข้ามาเพื่อให้มุ่งของเท้าหน้าและเท้าหลังเท่ากันภายใต้คำสั่งเป็นมุ่งขับเป็นไปตามลำดับที่ 2 ของการก้าวเดินก่อนที่จะเข้าสู่สู่ตำแหน่ง Home position อีกครั้งหนึ่ง

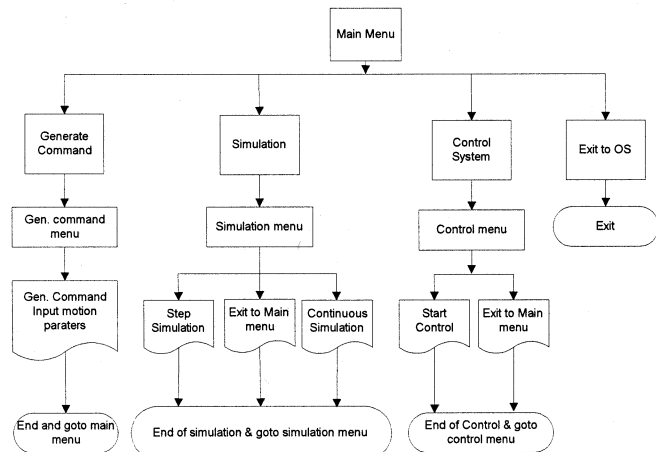


รูปที่ 4.7 แสดงลำดับที่ 5 ของการเคลื่อนที่ของหุ่นยนต์

#### โปรแกรมคอมพิวเตอร์สำหรับใช้ในการควบคุมการเดินของหุ่นยนต์

คอมพิวเตอร์ที่ใช้ในการควบคุมเป็นคอมพิวเตอร์ 486DX4-100 โดยผลการควบคุมทั้งหมดจะทำโดยคอมพิวเตอร์ซึ่งเป็นอุปกรณ์ที่สำคัญในการที่จะประมวลผลเพื่อสั่งการทำงานของหุ่นยนต์ให้มีลำดับการเดินเป็นไปตามสมการทางคณิตศาสตร์กลไกที่เหมาะสมได้ และการสร้างโปรแกรมของคำสั่งในการควบคุมซึ่งมีหลักการทำงานดังแสดงในรูปที่ 4.8

รูปที่ 4.8 แสดงลำดับที่ 4 ของการเคลื่อนที่ของหุ่นยนต์ แสดงการขับเคลื่อนด้วยขนาดของมุ่งที่เท้ากับมุ่งในลำดับที่ 2 แต่ตรงกันข้ามคือมุ่งขับของเท้าหน้าในลำดับที่ 3 เป็นมุ่งขับของเท้า



รูปที่ 4.8 แสดง Flowchart ของโปรแกรมที่ใช้ในการควบคุม

## 5) สรุปผลการทดลอง

1. จากผลการควบคุมการเดินที่ความเร็วคงที่ เพื่อถูกการควบคุมภายใต้ความเร็วคงที่ๆ ที่ความเร็วต่างๆ กัน พบว่าช่วงของการเริ่มต้นในการควบคุมที่ความเร็วต่าง จะต้องใช้จำนวนคนในการสูบค่อนข้างมากกว่าที่ความเร็วสูงๆ ในช่วงต้นที่จะต้องขับข้ามยนต์เพื่อเวลาหน่วง (time delay) นอกจากนั้นก็ยังมีช่วงแบคแลชของไฟองกด ซึ่งหลังจากผ่านช่วงดังกล่าวจะกระทุบเข้าสู่สภาวะความผิดพลาดคงตัว (steady state) และจะพบว่าการเดินค่อนข้างเรียบ ดังนั้นที่ภายในได้การควบคุมการเดินแบบความเร็วคงที่นี้สำหรับกรณีที่การก้าวเดินกระทำเป็นมุมเล็กๆ ที่ภายในได้การควบคุมดังกล่าวระบบจะเกิดความผิดพลาดค่อนข้างมาก และเมื่อแก้ไขภายในได้การควบคุมดังกล่าวโดยการเพิ่มค่าความเร็วจะพบว่าดำเนินการเป้าหมายจะผิดพลาดทันทีซึ่งจะมากหรือน้อยขึ้นอยู่กับความเร็วในการก้าวเดิน ค่าผิดพลาดดังกล่าวเป็นผลมาจากการแรงเฉื่อยที่เกิดขึ้นเนื่องจากความเร็วคงที่นั้นเอง ดังนั้นการควบคุมการเดินที่ความเร็วคงที่ จะทำให้เกิดความผิดพลาดของ การควบคุมค่อนข้างสูง และการเดินจากจุดหนึ่งไปยังอีกจุดหนึ่งที่ความเร็วต่างๆ สำหรับระบบที่มีแรงเสียดทานค่อนข้างมาก จะส่งผลให้การเดินมีการกระตกเป็นระยะ เนื่องจากการแก้ไขค่าความผิดพลาดของระบบควบคุมที่เกิดขึ้นไม่ทัน เพราะมองเห็นที่ไว้ค่าความเร็วคงที่ไม่เร็วหรือมีการตอบสนองค่อนข้างช้า ดังนั้นที่ภายในได้การควบคุมด้วยความเร็วคงที่เพียงอย่างเดียวจึงไม่เหมาะสมกับการควบคุมการเดินของหุ่นยนต์ แต่ถ้าอย่างไรก็ตามที่ภายในได้การควบคุมแบบความเร็วคงที่เพียงอย่างเดียวในที่นี้พบว่าค่าความเร็วเชิงมุมที่ค่า  $0 < \omega < 6 \text{ rad/s}$  ให้ผลการตอบสนองที่ยอมรับได้

2. ผลการควบคุมการเดินของหุ่นยนต์ที่ภายใต้ความเร่งคงที่ พบร่วมกับช่วงต้นของการก้าวเดินระบบจะต้องเอาระบบแรงเสียดทาน โดยใช้เวลาหรือจำนวนความของการสั่นต่างกันโดยที่ความเร่งเพิ่มมากขึ้นจำนวนควบคุมสั่นก็จะลดลง ในช่วงที่ต้องเอาระบบแรงเสียดทานดังกล่าว เมื่อลดความเวลาการสั่นที่ช่วงดังกล่าวโดยการเพิ่มความเร่งในการเคลื่อนที่ที่  $\alpha > 3 \text{ rad/s}^2$  พบร่วมกับความผิดพลาดที่เกิดขึ้นในระหว่างจุดต่อจุดของการควบคุมเพิ่มมากขึ้น ซึ่งอาจเป็นเพราะตัวเองเดอร์องไม่สามารถให้คำความเร่งตอบสนองได้ทัน และที่ภายใต้ความเร่งเชิงมุมที่ค่า  $0 < \alpha < 3 \text{ rad/s}^2$  จะเป็นช่วงของการให้ผลการตอบสนองที่ดีที่สุด แม้ว่าจะลำบากกว่ามากใน

ช่วงของการอาจชนะแรงเสียดทานและผลกระทบเนื่องจากแบคแล็ชจากเกียร์ทด เมื่อเปรียบเทียบผลการควบคุมกับที่ความเร็วคงที่พบว่าที่ช่วงเริ่มต้นไม่แตกต่างกันมากนักแต่การเข้าสู่สภาวะความผิดพลาดคงดัว (steady state error) ของระบบที่ภายใต้ความเร่งคงที่จะใช้ captions ใน การสูญเสียกว่าที่ความเร็วคงที่ และที่ภายใต้ความเร่งสูงขึ้นจะส่งผลให้ การก้าวเดินมีการกระเพื่อมของผลลัพธ์การควบคุมหรือค่าความผิดพลาดมีค่าอนันต์สูง และที่ตำแหน่งเป้าหมายที่ภายใต้การควบคุมความเร่งคงที่เพียงอย่างเดียวที่จะพบว่าเอกสารที่กิดขึ้นเป็นตามความเร่งที่ควบคุม ดังนั้นที่ภายใต้การควบคุมแบบความเร่งคงที่นี้ หมายความกับการควบคุมการเคลื่อนที่ในช่วงเริ่มต้นเพียงเท่านั้น

3. จากผลการทดลองการควบคุมที่ความเร่งคงที่เพียงอย่างเดียวพบว่าผลลัพธ์ที่ได้มีการแปรตามค่าความเร่งที่เพิ่มหรือลด ดังนั้นการแก้ไขความผิดพลาดที่เกิดขึ้นที่ดำเนินการอย่างต่อเนื่องจะช่วยลดความผิดพลาดการเคลื่อนที่ดังกล่าวอันเนื่องมาจากสาเหตุของแรงเฉียบของมวลระบบได้โดยการปรับโปรแกรมการเคลื่อนที่ในส่วนของความหน่วงคงที่เพื่อทำให้ความเร่งของมวลหรืออา มีค่าเข้าสู่ศูนย์ ซึ่งก็จะเป็นผลทำให้ค่าความผิดพลาดดังกล่าวมีค่าเป็นศูนย์ ภายใต้ผลการทดลองดังกล่าวเนี้เป็นส่วนที่ใช้ในการพิจารณาว่าที่ค่าความเร่งเท่าไรที่ระบบให้การตอบสนองที่ดีที่สุด สำหรับกรณีที่ควบคุมการก้าวเดินของขาของหุ่นยนต์ที่เดินในช่วงของมุมเล็กๆ ภายใต้การควบคุมดังกล่าวจะให้ผลการควบคุมที่ดีซึ่งจากผลการทดลองพบว่าเวลาในการสูบที่การควบคุมดังกล่าว ช่วงของเวลาในการເອົາະນະແຮງເສີດທານຈະມີຄ້ານໍອຍລົງທຶນ໌ ความเร่งและความหน่วงเพิ่มขึ้น แต่ที่ความเร่งเพิ่มขึ้นผลลัพธ์ของการควบคุมระหว่างทางพบว่ามีการแก้วยที่ความเร่งเชิงมุม  $\alpha > 3 \text{ rad/s}^2$  นั้นหมายความว่าภายใต้การควบคุมที่ความเร่งและความหน่วงคงที่นี้ค่าที่ให้ผลการควบคุมการก้าวเดินที่ดีที่ค่า  $\alpha \approx 3 \text{ rad/s}^2$  หรือที่ค่าต่ำกว่านั้นก็ให้ผลลัพธ์การควบคุมการก้าวเดินที่ค่อนข้างดี และที่ภายใต้การควบคุมลักษณะดังกล่าวมีข้อดีคือค่าความผิดพลาดของตำแหน่งเป้าหมายค่าเข้าใกล้ศูนย์

4. จากผลการควบคุมทั้ง 3 แบบจะพบว่าแต่ละแบบต่างกันให้ผลลัพธ์ การควบคุมที่แตกต่างกันซึ่งพบว่าการควบคุมที่ความเร็วคงที่มีข้อดีคือ ที่ช่วยระหบ่วงทางการเคลื่อนที่แบบจุดต่อจุดจะให้ผลลัพธ์การควบคุม หรือการก้าวเดินที่ค่อนข้างเรียน และที่ภายใต้การควบคุมที่ความเร่ง และความหน่วงคงที่จะให้ผลลัพธ์ คือการเข้าสู่ตำแหน่งเป้าหมายหรือ ตำแหน่งปลายทางค่อนข้างใกล้เคียงหรือเออเรอร์เข้าใกล้ศูนย์ ดังนั้น จากผลลัพธ์ดังกล่าวในเราก็จะได้ว่าที่การควบคุมระยะทางการเคลื่อนที่ที่ มีช่วงก้าวยาว การนำผลลัพธ์ของการควบคุมทั้งสองแบบมารวมกันก็จะให้ ผลการควบคุมที่ดีที่สุด กล่าวคือที่การควบคุมดังกล่าวจะให้ผลลัพธ์การ ก้าวเดินที่เรียบและให้ผลลัพธ์ของตำแหน่งเป้าหมายได้อย่างถูกต้อง ซึ่ง จากสิ่งดังกล่าวในเรานี้ทำให้การนำค่าผลลัพธ์ของความเร็วและความเร่งที่ ให้ผลลัพธ์การควบคุมที่ดีนี้ไปควบคุมการเดินที่ภายใต้ ความเร่งคงที่- ความเร็วคงที่-ความหน่วงคงที่ ซึ่งสรุปผลการควบคุมได้ว่าที่  $\alpha=1$   $\text{rad/s}^2, \omega=4 \text{ rad/s}, \alpha=2 \text{ rad/s}^2, \omega=4 \text{ rad/s} \alpha=3 \text{ rad/s}^2, \omega=4 \text{ rad/s}$  เป็นค่าที่ให้ผลการควบคุมที่ดีที่สุด

๗๖

การสร้างหุ่นยนต์เดินด้วยกลไกแบบ four bar นี้สร้างขึ้นโดยใช้อุปกรณ์ที่หาซื้อได้ทั่วไปและใช้มอเตอร์เก่าซึ่งมีความเร็วในการตอบสนองไม่เร็วเท่าที่ควร ประกอบกับบัดชุดควบคุมมอเตอร์เป็นชุดขยาย

สัญญาณแบบควบคุมแรงดัน (Voltage amplifier) ที่สร้างขึ้นในห้องปฏิบัติการ

1. ปรับปรุงโครงสร้างของขาที่บริเวณบีดอินโคดเดอร์ในการตรวจจับตำแหน่งการเคลื่อนที่ให้มีความแข็งแรงและได้ศูนย์

2. ปรับปรุงในรูปร่างหรือรูปทรงของเท้าเดินให้มีแรงเสียดทานในการเกาะจับพื้นผิวด่างๆ กัน

3. ปรับเปลี่ยนแก๊ซไขมอเตอร์ให้เป็นดีซีเซอร์วิโอมอเตอร์เพื่อผลตอบสนองที่ดีขึ้นในการควบคุม และใช้ตัวควบคุมมอเตอร์เป็นแบบ current amplifier จะทำให้เราสามารถควบคุมแรงได้มากกว่านี้

4. การปรับปรุงในส่วนของการควบคุมการเดินสามารถที่จะพัฒนาต่อไปได้ ในส่วนของการควบคุมระยะทางในการเคลื่อนที่โดยการสร้างและติดตั้งเซ็นเซอร์ในส่วนของการวัดระยะทาง

5. เพื่อให้สามารถทำการเคลื่อนที่ๆ มุมองศ่าต่างๆ ของพื้นเดินตามความล้มพังของสมการทางคณิตศาสตร์ของระบบเป็นไปโดยอัตโนมัติ โดยการสร้างหรือติดตั้งอุปกรณ์ในการตรวจจับความชันของพื้นเดินเพื่อนำไปประมวลผลควบคุมการเดินให้อยู่ในเส้นทางภาพได้

#### เอกสารอ้างอิง

- 1) วิธีชัย อึ่งภากรณ์, วิญญูลย์ แสงวีระพันธุ์ศิริ, "การออกแบบและควบคุมหุ่นยนต์อุตสาหกรรมชุด 3 ข้อต่อที่มีการเคลื่อนที่แบบพิกัดฉาก", ทุนรัชดาภิเษกสมโภช, 2535
- 2) วิญญูลย์ แสงวีระพันธุ์ศิริ, "การควบคุมระบบพลศาสตร์", พิมพ์ครั้งที่ 1 กรุงเทพมหานคร, สำนักพิมพ์จุฬาลงกรณ์มหาวิทยาลัย, 2538.
- 3) John G.,Bollinger, Neil A. Duffie, "**Computer Control of Machines and Processes**", Addison-Wesley, 1988.
- 4) Katsuhiko Ogata, "**Modern Control Engineering**", Prentice-Hall International, 1990.
- 5) Tomokazu Hirabayashi, Kazuo Yamafuji, "**Control of the Variable-Structure-Type Locomotive Robot**" (*Walking Forms and Controlling Methods of the Leg-Leg Type*) (JSME Series 3, Vol., 35), 1992.
- 6) William J. Palm, "**Control System Engineernings**", John Wiley&Son, 1986